

هیدرولوژی‌مورفولوژی، شماره‌ی ۱۵، تابستان ۱۳۹۷، صص ۵۳-۳۷

وصول مقاله: ۱۳۹۶/۰۴/۱۳ تأیید نهایی مقاله: ۱۳۹۷/۰۵/۲۹

تغییرات ژئومورفولوژیکی سازند گچساران ناشی از آبگیری سد گتوند علیا، با استفاده از تکنیک تداخل‌سنجدی تفاضلی رادار

اکبر هاشمی فرد^۱

*پرویز کردوانی^۲

فریده اسدیان^۳

چکیده

تصاویر ماهواره‌ای به علت دید وسیعی که از یک منطقه ایجاد می‌کنند و همچنین به دلیل پوشش تکراری منظم، به عنوان یکی از ابزارهای مهم مدیریت منابع زمینی قلمداد می‌شوند. با استفاده از فناوری سنجش از دور، خصوصاً تداخل‌سنجدی راداری (InSAR) می‌توان حرکات و تغییرات ناشی از پدیده‌هایی مانند زمین‌لرزه، آتش‌نشان، بیچال‌ها، زمین‌لغزش و دیاپیرهای نمکی و دیگر پدیده‌های نامنظم را مطالعه نمود. در این پژوهش از روش تداخل‌سنجدی تفاضلی راداری به منظور به تصویر کشیدن جابجایی سطح زمین در محدوده سد گتوند علیا و بررسی تغییرات زمانی کوتاه مدت و بلند مدت این حادثه کمک گرفته شده است. ^۴ تصویر SLC باند C، سنجنده‌ی ASAR ماهواره‌ی ENVISAT مربوط به بازه‌ی زمانی ۲۰۰۷ تا ۲۰۱۱، در قالب طرح پژوهشی از مرکز فضایی اروپا با گستره‌ی 100×100 کیلومتر مربع اخذ شد. از پردازش تصاویر با اختلاف زمانی یک ساله و بیش از یک سال ^۴ اینترفروگرام مستقل حاصل شد، به منظور حذف اثر توپوگرافی از اینترفروگرام‌ها از SRTM DEM منطقه با قدرت تفکیک ۹۰ متر استفاده شد. و پردازش اینترفروگرام‌ها به کمک نرم‌افزار Sarscape انجام شد. جهت

۱ - دانشجوی دکتری جغرافیای طبیعی دانشگاه آزاد واحد علوم تحقیقات تهران، تهران، ایران.

۲ - استاد گروه جغرافیای طبیعی، دانشگاه آزاد واحد علوم تحقیقات تهران، تهران، ایران (نویسنده مسئول).

E-mail:kardavani@yahoo.com

۳ - استادیار گروه جغرافیای طبیعی دانشگاه آزاد واحد علوم تحقیقات تهران، تهران، ایران.

اصلاح اعوجاج تصاویر که در اثر نیروی جاذبه‌ی ماه بر روی تصاویر ایجاد می‌شود، از فایل DOR-VOR که حاوی اطلاعات برداشتی ماهواره DORIS آژانس فضایی اروپا می‌باشد، استفاده شده است. از نتایج حاصل از تداخل سنجی رادار، حداکثر میزان فرونشست در محدوده‌ی مورد مطالعه، حدود ۳/۵ سانتی متر در سال محاسبه شده است. نتایج تداخل نگار به دست آمده در این تحقیق حداکثر نرخ فرونشست را در سازند گچساران و در محدوده‌ی معدن نمک عنبل به میزان ۳/۵ سانتی متر نشان می‌دهد.

کلمات کلیدی: سازند گچساران، تداخل سنجی تفاضلی، سد گتوند علیا، اینترفروگرام.

مقدمه

سازندهای زمین و واحدهای سنگی از لحاظ مختلف به ویژه خصوصیات سنگشناسی، فیزیکی و مکانیکی متفاوت، در مواجه با آب رفتار متفاوتی از خود نشان داده و مطالعه دقیق آنها ضروری می‌باشد (آقانباتی، ۱۳۸۵: ۴۵). سازند گچساران که نام آن از میدان نفتی گچساران گرفته شده است، به عنوان یکی از سازندهای تبخیری زاگرس در جنوب و جنوب غربی کشور گسترش زیادی دارد (داموغ، ۱۳۸۹: ۲۷). سدهای بزرگ معمولاً به صورت چندمنظوره و با اهدافی چون ذخیره‌ی آب برای فصول کم آب، کنترل سیلاب، تولید انرژی و استفاده‌ی تفریحی ساخته می‌شوند. سرزمین پهناور ایران در منطقه‌ای خشک و نیمه‌خشک قرار گرفته و توزیع ناموزون جریان‌های سطحی محدودیت‌های عمده‌ای را در امر استفاده بهینه از این عنصر حیاتی به وجود آورده است. ضرورت تأمین آب از یک طرف و تغییراتی که سدها بر محیط اطراف دارند از طرف دیگر توجه به اثرات زیست محیطی و اقلیمی طرح‌های سدسازی را الزامی می‌کند. رودخانه‌ی کارون بزرگ‌ترین و پرآب‌ترین رودخانه کشور است که سرشاخه‌های اصلی آن از استان‌های مجاور سرچشمه می‌گیرد و به جلگه خوزستان وارد می‌شود. اتفاقاتی که سبب ایجاد بحران آلودگی کارون شده را باید در دو بخش عمدۀ جستجو کرد: بخش سرشاخه‌های کارون و بخش جلگه‌ی کارون. در سرشاخه‌ها فعالیت‌های انسانی خاصی رخ داده و در

جلگه فعالیتهای دیگری. در مورد فعالیتهای انسانی اثرگذار بر رودخانه کارون در مناطق کوهستانی، اجرای طرح‌ها و پروژه‌های بزرگ و کوچک سدسازی و انتقال بین حوضه‌ای آب از رودخانه کارون به حوضه‌های مجاور، تعادل هیدرولوژیکی و اکولوژیکی کارون را در مناطق بالادست به هم زده و در حال حاضر این رودخانه در حوضه‌ی آبریز بالادست خود با زنجیره‌ای از سدهای ساخته شده مدیریت می‌شود.

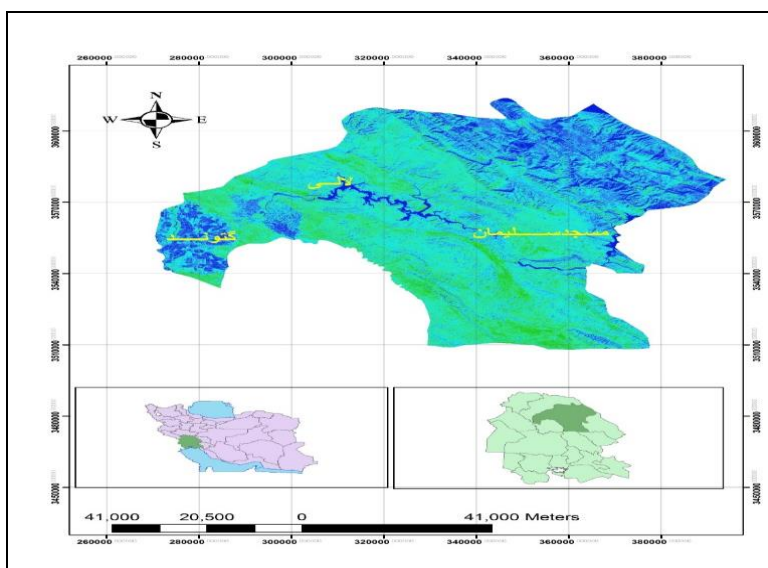
در زمینه‌ی تأثیرات مخازن آبی دریاچه‌ها و سدها و همچنین پردازش تصاویر ماهواره‌ای زمین لغزش‌ها و فرونشسته‌ها تحقیقات پراکنده‌ای در گوشه و کنار ایران و دیگر کشورها صورت گرفته است که به برخی از آنها اشاره می‌شود:

حقیقت مهر و همکاران (۱۳۸۹)، از تکنیک تداخل‌سنگی راداری برای تعیین نرخ فرونشست و لنداسالیدهای دشت هشتگرد، با استفاده از ۴ تصویر راداری ENVISAT، در بازه‌ی زمانی ۴ ماهه (۱۱ جولای ۲۰۰۸ تا ۲۴ اکتبر ۲۰۰۸)، بیشینه‌ی مقدار نرخ فرونشست را در این دشت ۳۵ میلی‌متر در ماه به دست آوردند. جنت و همکاران در سال ۱۳۸۸، از روش تداخل‌سنگی راداری برای مشخص کردن تغییر شکل سطح زمین در دشت گلپایگان استفاده نمودند. این دشت از جمله مناطقی است که دچار فرونشست ناشی از برداشت بی‌رویه آب زیرزمینی جهت مقاصد کشاورزی، گردیده است. حداقل جابجایی عمودی در اثر فرونشست با استفاده از روش تداخل‌سنگی رادار و داده‌های ماهواره‌ای ENVISAT در بازه‌ی زمانی هفت و ده ماهه در این منطقه محاسبه شد. با استفاده از این روش میزان جابجایی عمودی در قسمت‌های مختلف سیگنال فرونشست متفاوت بوده و حداقل میزان آن در این دو بازه‌ی زمانی ۱۹ و ۱۲ سانتی متر به دست آمد. دامواه-افاری^۱ و همکاران سال (۲۰۰۸)، از روش DInSAR با داده‌های ماهواره‌ی JERS1 در باند L برای شانگهای استفاده نمودند این تروفروگرام‌های تفاضلی ایجاد شده از داده‌های L باند JERS1 میزان فرونشست را با دقت بیشتری نشان داد، و نتایج به دست آمده از PSInSAR با وجود داشتن نوبز، نتایج به دست آمده از DInSAR را تأیید

نمودند. المدرسي و ديگران (۱۳۹۵) از تکنيک تداخل‌سنجمي تفاضلي راداري برای محاسبه‌ی خصوصيات فيزيكي برف با استفاده از تصاویر تراسار ايکس باند (Terrasar-X) و موديس (Modis) استفاده نموده و نتایج بيانگر دقت کلي ۹۱/۳ درصد ضریب کاپای ۸۴/۴۵ نقشه‌ی سطح برف و نقشه‌ی عمق برف با ضریب تعمیم ۸۵/۰ درصد و Rmse برابر ۲/۷۸۷ بوده است. از ديگر تحقیقاتی که زمین لغش و تغییر فرم سازند را به عنوان يکی از پیامدهای احداث سدها مطالعه نموده‌اند می‌توان موارد زیر اشاره نمود: سد خاکی مسجدسلیمان (داودی و جواهری، ۱۳۸۶)، حوضه‌ی آبریز سد شیرین دره (احمدیان مقدم و ديگران، ۲۰۱۴)، سد ونیار تبریز (آذرمی عربشاه و ديگران، ۲۰۱۱)، سد بیدواز اسفراین (صفرپور و ديگران، ۲۰۱۵)، حوضه‌ی آبخیز کارون بزرگ (یمانی و همکاران، ۱۳۹۱). هدف از اين تحقیق آشکارسازی جابجایی زمین در محدوده‌ی سازندهای دچار انحلال شده اطراف دریاچه‌ی سد گتوندعلیا، با استفاده از تکنيک تداخل‌سنجمي تفاضلي راداري می‌باشد.

منطقه‌ی مورد مطالعه

محدوده‌ی مورد مطالعه در شمال استان خوزستان (جنوب غربی ایران) و در ۲۸ کيلومتری شمال شهرستان شوشتر و ۱۱ کيلومتری بالادست سد تنظيمی گتوند قرار دارد. موقعیت جغرافیایی محدوده‌ی مطالعاتی مطابق نقشه‌های ۱:۲۵۰۰۰، در بین عرض‌های شمالی ۳۲ درجه و ۱۶ دقیقه تا ۳۲ درجه و ۱۸ دقیقه و همچنین ۴۸ درجه و ۵۸ دقیقه تا ۴۹ درجه و ۵۸ دقیقه طول شرقی قرار می‌گيرد شکل (۱).



شکل (۱) موقعیت منطقه‌ی مورد مطالعه در محدوده‌ی سد گتوند علیا

سد گتوند علیا پایین دست‌ترین سد بزرگ ساخته شده بر روی رودخانه‌ی کارون، قبل از ورود به جلگه‌ی خوزستان است، و در بالادست آن به ترتیب سدهای گدارلندر (مسجدسلیمان)، شهیدعباسپور (کارون ۱)، کارون ۳ و کارون ۴ ساخته شده و سدهای دیگری نیز در دست مطالعه یا اجرا می‌باشند. سازندهای زمین‌شناسی و واحدهای سنگی مختلف با ویژگی‌های سنگ‌شناسی، فیزیکی و مکانیکی متفاوت، در مواجه با آب رفتار متفاوتی از خود نشان داده و مطالعه‌ی دقیق آنها ضروری است. یکی از سازندهایی که رودخانه‌ی کارون در محدوده‌ی حد فاصل سد گدار/مسجدسلیمان تا سد تنظیمی گتوند از آن عبور کرده و محدوده‌ی مخزن سد گتوند علیا را احاطه کرده است، سازند گچساران می‌باشد (آقانباتی، ۱۳۸۵: ۵۰). به علت وجود نمک در این سازند، کیفیت آب رودخانه و مخزن متأثر از آن می‌باشد (بقداشتکی و دیگران، ۱۳۸۹). پس از آبگیری سد گتوند علیا در سال مرداد ماه ۱۳۹۰، قسمتهایی از این سازند که در پیرامون دریاچه سد و یا مستقیماً با آب دریاچه در ارتباط بودند بر اثر انحلال دچار فرونشست و لغزش شدند.

مواد و روش‌ها

معیارهای انتخاب و داده‌های مورد استفاده

انتخاب تصاویر مناسب برای پردازش اینترفرومتری، به عنوان اولین و یکی از مهم‌ترین گام‌های اساسی در اجرای این روش پردازشی می‌باشد. اهمیت این امر به این خاطر است که معیارهای مورد نظر برای انتخاب تصاویر را داری تأثیر مستقیم بر کیفیت نتایج نهایی خواهند گذاشت. البته این معیارها در ارتباط با کاربردهای است که از پردازش تداخل سنجی مدنظر است.

- زاویه دید
- خط مبنا
- زمان تصویربرداری
- همدوسی
- اثرات اتمسفری (ویتور و همکاران^۱، ۲۰۰۲).

در این پژوهش از روش تداخل سنجی تفاضلی را داری^۲ به منظور به تصویر کشیدن محدوده‌ی فرونیست (جابجایی سطح زمین) و بررسی تغییرات زمانی کوتاه مدت و بلند مدت این حادثه کمک گرفته شده است. ^۴ تصویر SLC باند C، سنجنده ASAR ماهواره ENVISAT مربوط به بازه‌ی زمانی ۲۰۰۷ تا ۲۰۱۱، در قالب طرح پژوهشی از مرکز فضایی اروپا با گستره‌ی 100×100 کیلومتر مربع اخذ شد. از پردازش تصاویر با اختلاف زمانی یک ساله و بیش از یک سال ^۴ اینترفروگرام مستقل حاصل شد، که در جدول (۱) مشخصات آنها آورده شده است. به منظور حذف اثر توپوگرافی از اینترفروگرام‌ها از SRTM DEM منطقه با قدرت تفکیک ۹۰ متر استفاده شد و پردازش اینترفروگرام‌ها به کمک نرم‌افزار Sarscape انجام شد. جهت اصلاح اعوجاج تصاویر که در اثر نیروی جاذبه ماه بر روی تصاویر ایجاد می‌شود، از فایل DOR-VOR

1- Vettore et al.,

2- DInSAR

که حاوی اطلاعات برداشتی ماهواره DORIS آژانس فضایی اروپا می‌باشد، استفاده شده است.

جدول (۱) زوج تصویر انتخابی از سنجنده‌ی ASAR ماهواره‌ی ENVISAT

شماره بلوک	خط مبني بحرياني(متر)	خط مبني زماني(روز)	خط مبني زماني(روز)	خط مبني زماني(روز)	نام اختصاری انتخابی	تاریخ ميلادي (روز-ماه-سال)
A1	۸۴/۹۳۱	۵۷/۱۱۹	۱۷۳	۰۷/۵۲۴	-۲۰۰۸/۰۵/۲۱	-۲۰۰۷/۱۱/۲۸
					-۲۰۰۹/۰۹/۲۳	-۲۰۰۸/۰۵/۲۱
A2	۷۰/۹۳۱	۰۷/۵۲۴	۴۸۲	۶۱/۴۰۳	-۲۰۰۹/۰۹/۲۳	-۲۰۰۷/۱۱/۲۸
					-۲۰۱۱/۰۷/۱	-۲۰۱۱/۱۰/۲۹
A3	۸۴/۹۳۱	۴۷/۴۶۳	۱۱۸	۷۹/۲۰۹۷	-۲۰۱۱/۱۰/۲۹	-۲۰۱۱/۰۷/۱
					-۲۰۰۹/۰۹/۲۳	-۲۰۰۸/۰۵/۲۱
A4	۹۲	۷۹/۲۰۹۷	۱۱۸	۰۷/۵۲۴	۴۸۲	۰۷/۵۲۴

در شکل (۲) مدل مفهومی مراحل انجام تحقیق نشان داده شده است.

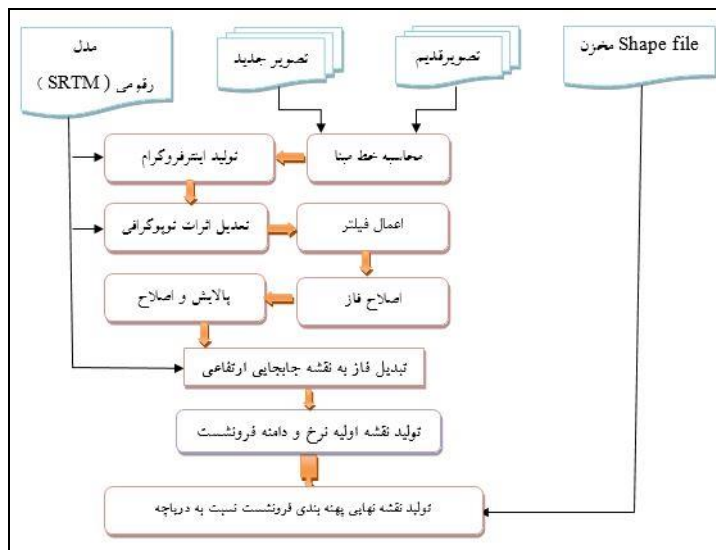
روش کار و ابزار پژوهش

در نخستین مرحله از زنجیره‌ی تحلیل این داده‌ها با هدف ساخت تداخل‌نگار لازم بود با توجه به قدرت تفکیک متفاوت این سنجنده در امتداد برد مایل راداری (۷/۸۰ متر) و آزیمoot (۴/۰۵ متر)، اطلاعات قدرت تفکیک در راستای برد به قدرت تفکیک زمین طبق رابطه‌ی (۱) در راستای برد تبدیل شود.

$$\Phi = \frac{4\pi}{\lambda} * \delta\rho \quad \text{رابطه‌ی (۱)}$$

در رابطه فوق $\delta\rho$ تفاضل برد مایل در حالت عبور اول و دوم است. اگر هر کدام از سیگنال‌های بازگشته از سنسور را به صورت یک عدد مختلط تصور نمود:

$$V_1(R, X) = |V_1(R, X)| e^{-j\varphi_1(R, X)} \quad (2)$$



شکل (۲) مدل مفهومی مراحل تحقیق

$$V_2(R, X) = |V_2(R, X)| e^{-j\varphi_2(R, X)} \quad (3)$$

یک اینترفروگرام از ضرب پیکسل به پیکسل سیگنال‌های بازگشت خورده مختلط از دو تصویر رادار دریچه مصنوعی حاصل می‌شود.

$$V(R, X) = V_1(R, X) V_2^*(R, X) = |V_1(R, X)| |V_2(R, X)| \exp[j\varphi(R, X)] \quad (4)$$

در این رابطه $*$ مقدار مزدوج عدد مختلط و φ فاز اینترفومتری می‌باشد. X نشان‌دهنده‌ی مختصات در جهت حرکت ماهواره و R مختصات پیکسل در جهت بردار می‌باشد (ریچاردز^۱، ۲۰۰۵).

1- Richards

با فرض موازی بودن شعاع‌های نوری در حالت استفاده از سکوهای فضایی می‌توان این چنین بیان نمود:

$$\rho\delta \approx B\sin(\theta-\alpha) \approx B \| \quad \text{رابطه‌ی (۵)}$$

$B\|$ ، مؤلفه‌ای از خط مبنای است که موازی با جهت نظاره راداری است. با جایگذاری مقدار $\rho\delta$ به دست آمده برای $\delta\rho$ از رابطه‌ی (۸) در رابطه‌ی (۹) داریم:

$$\phi = \frac{4\pi}{\lambda} B\sin(\theta-\alpha) = \frac{4\pi}{\lambda} * B \| \quad \text{رابطه‌ی (۶)}$$

جهت تعديل اثر توپوگرافی بر روی تداخل نگار حاصل شده، روش‌های مختلفی وجود دارد ولی در حالت کلی فاز مربوط به جابجایی زمین باید از فاز ثابت القا شده ناشی از هندسه راداری و شرایط مداری سنجنده و همچنین فاز موجود از تأثیر توپوگرافی جدا گردد. در این باره یکی از راه حل‌های ممکن تقسیم فاز تفاضلی حاصل از تداخل نگار به دو مؤلفه جدا از هم، فازهای با تواتر بالا و فازهایی با تواتر پایین است. فازها با تواتر پایین ناشی از توپوگرافی و هندسه تصویربرداری راداری هستند که برای حذف آنها لازم است توپوگرافی نادیده گرفته شود. با تفریق یک تداخل نگار از دیگری، فرینچ‌های مربوط به توپوگرافی معمول حذف شده و آنچه باقی می‌ماند، تغییرات ایجاد شده در توپوگرافی سطح یا جابجایی در آن است. زبر و همکاران^۱ (۱۹۹۴) معادله‌ی زیر را برای تداخل‌سننجی تفاضلی ارائه کردند:

$$\delta\phi = \phi_{2\text{flat}} - \frac{B_{2\perp}}{B_{1\perp}} \phi_{1\text{flat}} = \frac{4\pi}{\lambda} D \quad \text{رابطه‌ی (۷)}$$

$$\phi_{\text{flat}} = \frac{4\pi}{\lambda} (\theta - \theta_0) * B\perp \quad \text{رابطه‌ی (۸)}$$

که در رابطه‌ی فوق θ_0 زاویه دید سنجنده نسبت به نقاط زمینی با فرض ارتفاع محلی صفر آنها (سطح مبنای بیضوی زمین)، $\phi_{1\text{flat}}$ و $\phi_{2\text{flat}}$ تداخل نگارهای بازیابی فاز

شده برای قبل از رخداد و حین رخداد یا بعد آن است به طوری که مرحله‌ی تصحیح فاز توپوگرافی جهت حذف اثر کرویت زمین قبل از آن انجام شده باشد، D نیز جابجایی احتمالی در سطح زمین است. خط مبنای عمودی نیز با \perp B نشان داده شده است.

تغییر شکل D مستقیماً متناسب با اختلاف فاز تفاضلی $\delta\phi$ است، بنابراین تکنیک تداخل سنگی تفاضلی تغییر شکل سطح زمین را می‌تواند تا حد کمتر از نصف طول موج مورد استفاده و با دقت میلی‌متر اندازه‌گیری کند. بدین منظور با وارد کردن مدل رقومی ارتفاعی زمین کسب شده از شاتل SRTM (با دقت ۹۰ متر) مقادیر ارتفاعی توپوگرافی به نسبت سطح بیضوی از ارتفاع به بردار شعاعی تبدیل می‌شود که این فاز را فاز مصنوعی (sint) گویند که در این صورت سطح بیضوی و فاقد توپوگرافی فرض شده است. فازهای با تواتر بالا که به علت تغییرات زمانی فاز در طی اخذ دو تصویر (تغییر در سطح یا اتمسفر) و همچنین اختلاف ارتفاعی DEM با ارتفاع مبنای مدل بیضوی زمینی ایجاد می‌شوند. تداخل‌نگار حاصل به تداخل‌نگار مسطح ملقب است (شکل ۳).

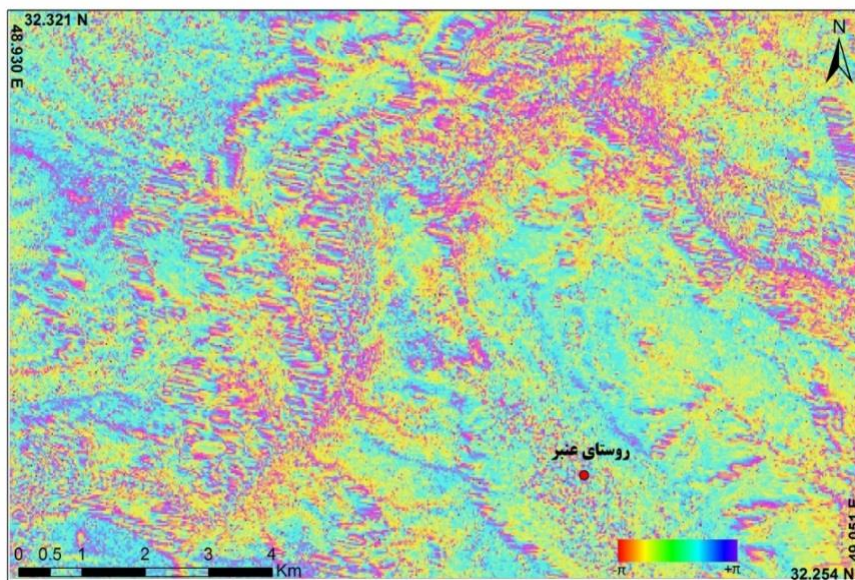
اعمال فیلتر تطبیقی و تولید تصویر همدوس

تداخل‌نگار تفاضلی حاصل از حذف اثرات توپوگرافی در مرحله‌ی پیشین، حاوی نویزهایی است که در نتیجه اختلاف زمانی یا بازه‌ی زمانی دریافت دو تصویر راداری و یا در اثر تفاوت خط مبنای مکانی و همچنین ناشی از لکه‌های فاقد سیگنال پدید آمده و ممکن است باعث پایین آمدن کیفیت تداخل‌نگار شده باشند، لذا لازم است تا با اجرای فیلترهای تطبیقی^۲ اثر نویزها را از روی تداخل‌نگارها حذف کرد. در تحقیق حاضر از فیلتر گلداشتاین^۳ برای پاکسازی تداخل‌نگار حاصل شده استفاده شد (جدول ۲ و شکل ۴).

1- Splotch

2- Adaptive Filter

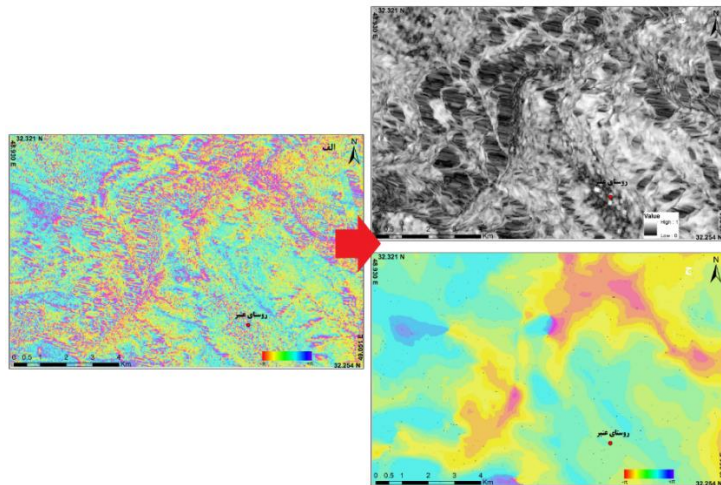
3- Goldstein



شکل (۳) تداخلنگار فازی مسطح شده حاصل از پردازش زوج تصویری A₁ سنجندهی ASAR

جدول (۲) مقادیر همدوسي برای زوج تصویر ASAR در تصویر همدوس

		انحراف معیار	بیشترین مقدار	میانگین	کمترین مقدار	خط مبنای زمانی (روز)	زوج تصویر
A1	۱۷۳	۰/۲۰۳۱۷۴	۰/۹۹۱۶۱۴	۰/۳۶۹۶۲۵	۰/۰۰۰۰۴۲	۰/۰۰۰۰۴۲	
A2	۴۸۲	۰/۱۲۳۵۹۶	۰/۹۳۰۴۱۳	۰/۲۱۳۸۵۹	۰/۰۰۰۰۶۱	۰/۰۰۰۰۶۱	
A3	۶۵۵	۰/۱۳۵۰۰۹	۰/۹۴۶۸۵۹	۰/۲۳۴۴۹۱	۰/۰۰۰۰۵۰	۰/۰۰۰۰۵۰	
A4	۱۱۸	۰/۱۵۵۳۳۵	۰/۹۱۶۷۱۰	۰/۲۴۹۷۸۲	۰/۰۰۰۰۲۴	۰/۰۰۰۰۲۴	



شکل (۴) انجام فیلتر توافقی گلداشتاین بر روی زوج تصویر_۱ A از سنجنده ASAR (الف- تداخل نگار فازی مسطح شده ب- تصویر همدوس ج- تصویر تداخل سنجی تفاضلی راداری فیلتر شده)

اصلاح فاز^۱ و آشکارسازی مناطق ناپایداری دامنه‌ای

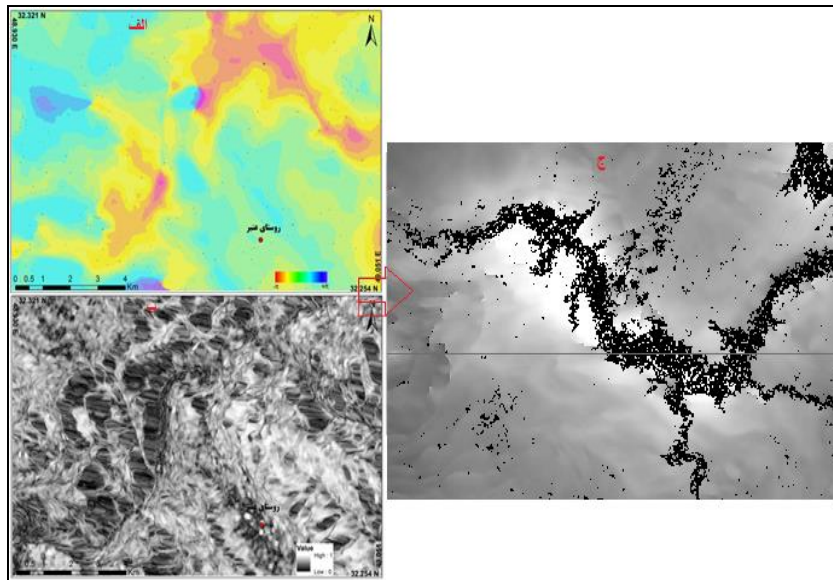
با توجه به مقادیر همبستگی در تداخل نگارهای حاصل، از الگوریتم موسوم به رشد ناحیه‌ای^۲ برای تداخل نگارهای حاصل از سنجنده ASAR استفاده شد. مقادیر آستانه‌ی این الگوریتم نیز با توجه به میانگین مقدار همبستگی در تصویر همدوسی محاسبه و تنظیم گردید (شکل ۵).

در ادامه، نتایج نهایی این مرحله، با کمک مدل‌سازی رقومی زمین^۳ (DTM) جهت تهییه نقشه‌های موضوعی به محیط Arc GIS منتقل شده و نهایتاً نتایج آشکارسازی زمین لغزش در سطح منطقه از طریق پیمایش میدانی با استفاده از GPS و انطباق آن با اطلاعات موجود در محیط برنامه‌ی Google-Earth کنترل و ارزیابی شد (شکل ۶).

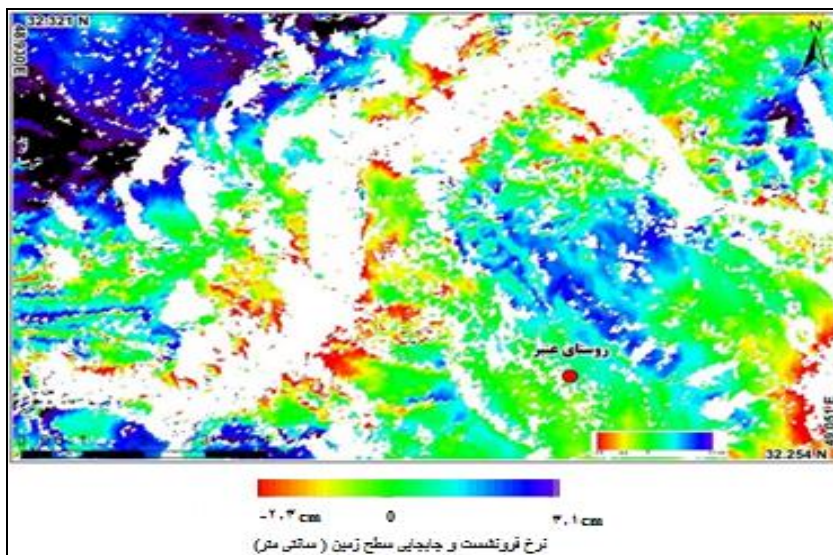
1- Phase Unwrapping

2- Region Growing

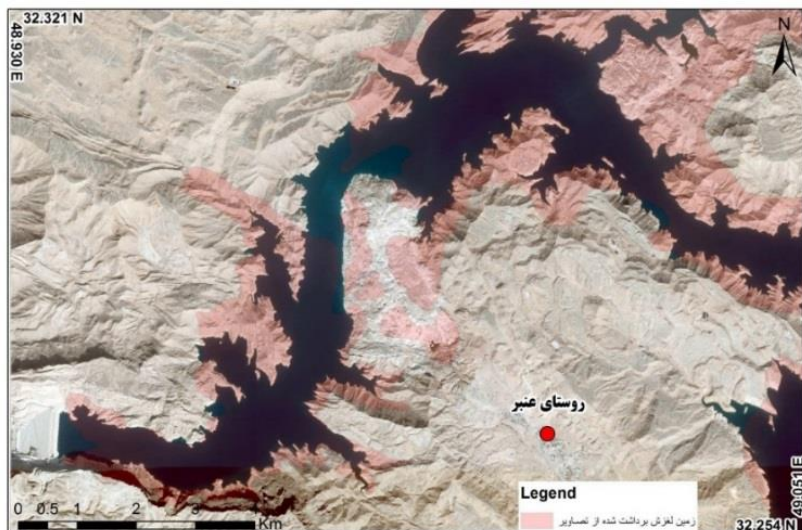
3- Digital Terrain Modeling



شکل (۵) تصویر حاصل از اصلاح فازی زوج تداخل نگار A₁ از سنجنده ASAR (الف- تداخل نگار تفاضلی فیلتر شده ب- تصویر همدوس ج- تداخل نگار اصلاح شده فازی)



شکل (۶) تصویر میزان ناپایداری دامنه‌ای حاصل از تداخل نگار A₄، سنجنده ASAR



شکل (۷) استخراج تمام لغزش‌های برداشت شده در پردازش زوج تصویرها

نتیجه‌گیری

در زمینه تأثیرات زمین‌ساختی دریاچه سدها و همچنین پردازش تصاویر ماهواره‌ای زمین‌لغزش‌ها و فرونشست‌ها تحقیقات پراکنده‌ای در گوشه و کنار ایران و دیگر کشورها صورت گرفته است، ولی در خصوص سد گتوند علیا فقط به صورت زمینی و با استفاده از گمانه‌زنی‌های زمین‌شناسی و تحلیل نیمرخ عرضی سازند گچساران و معادن نمک اطراف دریاچه سد مطالعاتی انجام شده بود، که نوآوری و جدید بودن این پژوهش را می‌رساند. نتایج حاصل در این تحقیق بیانگر این بود که بیشینه نرخ جابجایی در منطقه به حدود ۳/۵ سانتی متر در سال (در بازه‌ی زمانی ۲۰۰۷ تا ۲۰۱۱) می‌رسد. همچنین با توجه به اینترفروگرام حاصل شده از تصاویر راداری محدوده‌ی مورد مطالعه، بیشترین تغییر فرم و فرونشست مربوط به جهت جنوب شرقی توده عنبل و در نزدیکی معادن نمک رخ داده است (شکل ۷). با توجه به زمان شروع آبگیری سد گتوند علیا در مرداد ماه ۱۳۹۰ و همچنین شروع انحلال‌های صورت گرفته در سازند گچساران، این اولین مطالعه سنجش از دوری رادار بر روی سازند گچساران در این محدوده می‌باشد. علاوه

بر توده‌ی نمکی عنبل در دیگر نواحی مربوط به سازند گچساران که در حاشیه‌ی مخزن سد قرار داشته‌اند نیز شاهد زمین لغزش و فرونشت‌های متعددی بوده‌ایم. با بررسی نقشه‌های زمین‌شناسی و نیز بازدیدهای میدانی که از منطقه انجام شده است، به علت ریزش‌ها و لغزش‌های دامنه‌ای متعددی که هر ساله در توده‌ی سازند گچساران در کرانه‌ی چپ اتفاق می‌افتد، بخش‌هایی از رخنمون لایه‌های نمکی در محدوده‌ی یاد شده توسط واریزه پوشانده شده است. لازم به ذکر است که زمین لغزش‌هایی که به موازات جهت پرواز ماهواره رخ می‌دهند قابل برداشت نمی‌باشد، همچنین زمین لغزش‌هایی که در منطقه‌ی اعوجاجات هندسی (ساشه و وارونگی) قرار می‌گیرد قابل برداشت نیستند. در حقیقت زمین‌لغزش‌های واقع بر روی شیب‌های بزرگ‌تر از زاویه دید ماهواره ($37/8$ درجه) قابل برداشت نمی‌باشد.

منابع

- آخوندزاده، محمدعلی (۱۳۸۴)، نمایش نشست زمین در اثر استخراج مواد نفتی با استفاده از روش SAR اینترفرامتری در سنجش از دور، همایش ژئوماتیک ۱۳۸۴، تهران، ایران.
- احمدیان مقدم، رضا؛ غفوری، محمد و غلامرضا لشکری‌پور (۲۰۱۴)، پهنه‌بندی خطر زمین لغزش با استفاده از روش تحلیل سلسه مراتبی (AHP)، مطالعه موردی: حوضه‌ی آبریز سد شیرین‌دره، هفتمین کنفرانس زمین‌شناسی مهندسی و محیط زیست ایران دانشگاه صنعتی، شاهروド.
- آذرمی عربشاه، رباب؛ حافظی مقدس، ناصر؛ اصغری‌کلجاهی، ابراهیم و کامران ولیزاده (۲۰۱۵)، پهنه‌بندی خطر لغزش دامنه‌های مخزن سد ونیار تبریز بعد از آبگیری، هفتمین کنفرانس بین‌المللی توسعه پایدار، راهکارها و چالش‌ها با محوریت کشاورزی، منابع طبیعی، محیط زیست و گردشگری، شاهرود.
- آقانباتی، سیدعلی (۱۳۸۵)، زمین‌شناسی ایران، انتشارات سازمان زمین‌شناسی و اکتشافات معدنی کشور، صص ۵۰-۵۹.
- حقیقت‌مهر، پریسا؛ ولدان زوج، محمدجواد؛ تاجیک، رضا؛ جباری، سعید؛ صاحبی، محمود‌رضاء؛ اسلامی، رضا؛ مصطفی، گنجیان و مریم دهقانی (۱۳۸۹)، اندازه‌گیری فرونژست دشت هشتگرد ناشی از استخراج آب‌های زیرزمینی با استفاده از تکنیک تداخل‌سنگی راداری، همایش ژئوماتیک ۸۹، تهران، سازمان نقشه‌برداری کشور.
- شریفی‌کیا، محمدرضا (۱۳۹۱)، تعیین میزان و دامنه‌ی فرونژست زمین به کمک روش تداخل‌سنگی راداری (D-InSAR) در دشت نوق-بهرمان، مجله‌ی برنامه‌ریزی و آمایش فضای دوره‌ی ۱۶، شماره‌ی ۳، پاییز ۱۳۹۱، صص ۵۵-۷۷.
- صفرپور، زکیه؛ فرزادمهر، جلیل؛ گل‌کاریان، علی و مهدی بشیری (۲۰۱۵)، بررسی نقش سنگ‌شناسی در بروز زمین لغزش‌های محدوده‌ی سد بیدواز اسفراین، کنفرانس بین‌المللی توسعه‌ی پایدار، راهکارها و چالش‌ها با محوریت کشاورزی، منابع طبیعی، محیط زیست و گردشگری، ۲۰۱۵-۰۲-۲۵.

- یمانی، مجتبی؛ حسنپور، سیروس؛ مصطفایی، ابوالفضل و مجید شادمان رودپشتی (۱۳۹۱)، نقشه‌ی پهنه‌بندی خطر زمین لغزش در حوضه‌ی آبخیز کارون بزرگ با استفاده از مدل GIS در محیط AHP، نشریه‌ی جغرافیا و برنامه‌ریزی محیطی (مجله پژوهشی علوم انسانی دانشگاه اصفهان)، زمستان ۱۳۹۱، شماره‌ی ۴ (پیاپی ۴۸)، صص ۳۹-۵۶.

- Chatterjee, SK. (2002), **Cultivation of medicinal and aromatic plants in India: A commercial approach**, Proceedings of an International Conference on MAP, Acts Horticulture (ISHS), 576, PP. 191-202.
- Chen, F, Lin, H, Li, Z, Chen, Q, Zhou, J. (2012), **Interaction between permafrost and infrastructure along the Qinghai-Tibet Railway detected via jointly analysis of C- and L-band small baseline SAR interferometry**, Remote Sensing of Environment 123, PP. 532-540.
- Larson, K.J., H. Barasaoslu and M.A. Marino (2001), **Prediction of optimal safe groundwater yield and land subsidence in the Los Banos-Kettleman City area, California, using a calibrated numerical simulation model**, Journal of Hydrology, Vol. 242, Issues 1–2, 15 February 2001, PP. 79–102.
- Zahra, Sheikhi Kouhsar, Seyed Ali Almodaresi, Ali, Sarkargar Ardakani, Parastoo, Sahebalzamani, (2014), **Detecting Ground Subsidence on the Yazd-Ardakan Railway Using Radar Interferometry**, J. Appl. Environ. Biol. Sci., 4(12) PP. 254-263, 2014.
- Zebker, H.A. Rosen, P.A. Goldstein, R.M, Gabriel, A. & Werner, C.L. (1994), **On the Derivation of Coseismal Displacement Fields Using Differential Radar Interferometry**: The Landers Earthquake, Journal of Geophysical Research, 99 (B10), PP. 19617-19634.